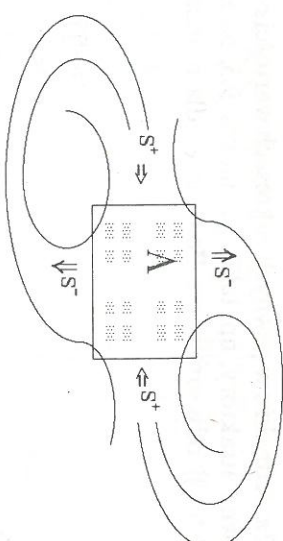


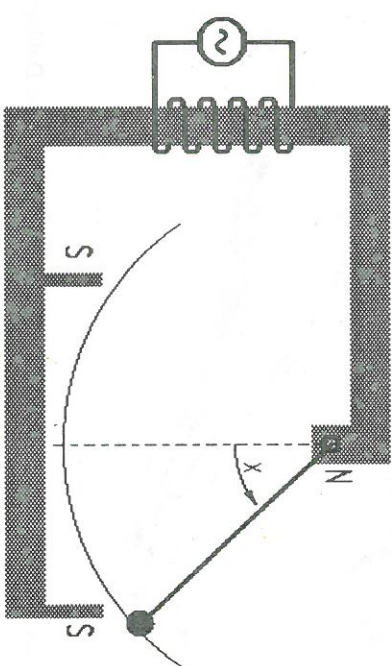
# Przykłady dziwnych atraktorów

W literaturze spotyka się kilka różnych definicji dziwnego atraktora, ale we wszystkich tych definicjach dziwny atraktor jest minimalnym zbiorem niezmienniczym i przyciągającym sąsiednie trajektorie z całego, lub z części swego otoczenia, oraz mającym „dziwną” strukturę geometryczną. To ostatnie ograniczenie wprowadza się po to, aby wyeliminować ze zbioru dziwnych atraktorów takie atraktory jak punkt, skończony zbiór punktów, gładką linię, gładką powierzchnię itp., a pozostawić między innymi zbiory Cantora, zbiory, których wymiar Hausdorffa nie jest liczbą całkowitą itp. Dziwne atraktory są obserwowane w wielu doświadczeniach numerycznych i fizycznych. Jednym z prostszych przykładów dziwnego atraktora jest atraktor Henona opisany w przykładzie 6.4.

Znane nam przykłady dziwnych atraktorów są często związane ze zbiorami niezmienniczymi podkowy Smale'a. Niech odwzorowanie  $F: Q \rightarrow R^2$  określone na kwadracie  $Q \subset R^2$  będzie podkową Smale'a, mającą zbiór niezmienniczy  $\Lambda$ . Dla każdej okresowej orbity odwzorowania  $F$  istnieją nie należące do zbioru  $\Lambda$  trajektorie  $\{F^n(z)\}$ , które są przyciągane do tej orbity, a również istnieją, takie trajektorie, które są od niej odpychane. Oznaczmy przez  $S^+$  rodzinę trajektorii przyciąganych do zbioru  $\Lambda$ , a przez  $S^-$  rodzinę trajektorii odpychanych od  $\Lambda$  (rys. 9.1). Czasami zdarza się, że trajektorie rodziny  $S^-$  trafiają ostatecznie do rodziny  $S^+$ , tak jak to pokazano schematycznie na rys. 9.1. Powstaje wówczas zbiór niezmienniczy  $A_\infty$  (zawierający w sobie  $\Lambda$ ), w którym nie ma ani jednej stabilnej trajektorii, a mimo to cały zbiór  $A_\infty$  przyciąga wszystkie trajektorie ze swego otoczenia. Zbiór  $A_\infty$  ma miarę (Lebesgue'a) równą zero i „dziwną strukturę”. Tego typu zbiory są częstymi przykładami dziwnych atraktorów. Pokazemy teraz trzy przykłady dziwnych atraktorów występujących w układach dynamicznych opisujących zjawiska przyrodnicze [6], [8].



Rys. 9.1. Schemat powstawania dziwnego atraktora z podkowy Smale'a



Rys. 9.2. Wahadło magnetyczne z okresowym wymuszeniem

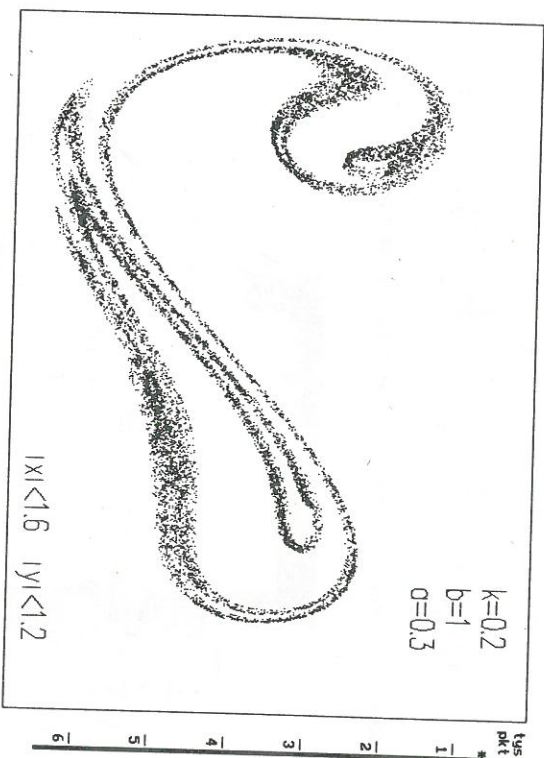
**PRZYKŁAD 9.1.** Prosty układem fizycznym, w którym pojawiają się dziwne atraktory, jest „wahadło magnetyczne” pobudzane do drgań przez okresowo zmieniający się strumień magnetyczny (rys. 9.2). Uproszczonym opisem takiego wahadła jest równanie różniczkowe Duffinga

$$\frac{d^2x}{dt^2} + k \frac{dx}{dt} - b(x - x^3) = a \sin t \quad (9.1)$$

Niech  $z_t = \{x(t), y(t)\}$  będzie wektorem, którego pierwsza współrzędna jest wychyleniem wahadła od pionu, a druga prędkością kątową ( $y = dx/dt$ ) w chwili  $t$ . Niech  $F$  będzie odwzorowaniem Poincarégo, tj. funkcją, która punktowi  $z_0$  przyporządkowuje punkt  $z_T = F(z_0)$ , gdzie  $T = 2\pi$  jest okresem, z jakim zmienia się siła wymuszająca drgania. Oczywiście odwzorowanie  $F$  zależy od trzech dodatnich parametrów  $k, b, a$  i przy zmianie wartości parametrów zmienia się dynamika układu. Układ dynamiczny  $(R^2, F)$  zawsze ma przynajmniej jeden atraktor. Najczęściej jest nim stabilny punkt stały lub stabilna okresowa orbita zawierająca skończoną liczbę punktów. Takim atraktorem odpowiadają stabilne rozwiązania okresowe równania (9.1) z okresem  $2\pi$  lub odpowiednio



wielokrotnością  $2\pi$ . Jednakże w pewnych zakresach wartości parametrów  $k, b, a$  pojawiają się dziwne atraktory, np. takie jak na rys. 9.3, na którym pokazano 6000 punktów  $\{F^n(z_0)\}$  odwzorowania Poincarégo dla numerów  $n = 500-6500$  i dla  $z_0 = (0, 0)$ .



Rys. 9.3. Dziwny atraktor odwzorowania Poincarégo dla równania Duffinga (9.1)

Przy ustalonych wartościach parametrów  $k, b, a$  układ dynamiczny  $(R^2, F)$  może mieć wiele atraktorów, np. punkt stały, jedną lub kilka okresowych orbit i dziwny atraktor. Wówczas w zależności od punktu początkowego  $z_0$  trajektoria  $\{F^n(z_0)\}$  zmierza do różnych atraktorów i zachowanie się rozwiązań równania (9.1) w stanie ustalonym zależy od warunku początkowego. Dla jednych punktów startowych  $z_0$  może być ono okresowe, a dla innych chaotyczne.

**PRZYKŁAD 9.2.** Rozpatrzmy dość typowy generator elektroniczny opisany układem równań różniczkowych:

$$\begin{aligned} \frac{dx}{d\tau} &= ax - y - (z + 2x)^2 \\ \frac{dy}{d\tau} &= x - ay - (a + b)(z + 2x)^2 \\ \frac{dz}{d\tau} &= -bz + 2(z + 2x)^2 \end{aligned} \quad (9.2)$$

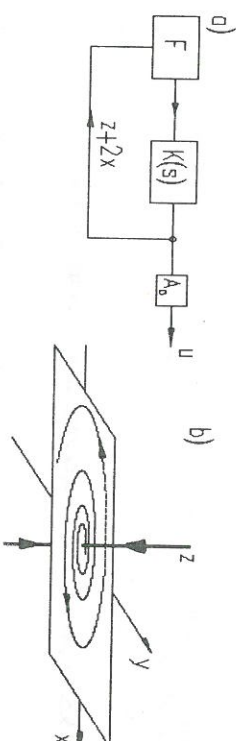
Schemat blokowy takiego generatora przedstawiono na rys. 9.4a. Przyjmujemy, że charakterystyka elementu nieliniowego jest funkcją kwadratową  $F(x) = x^2$ .

#### PRZYKŁADY DZIWNYCH ATRAKTORÓW

a transmitancja  $K(s)$  liniowej części układu ma trzy bieguny:  $-\omega b, \omega(a - \omega(a - i))$  (gdzie  $a, b, \omega > 0$ ) i nie ma punktów zerowych. Transmitancja za więc od czterech parametrów. W zależności od przyjętego układu współrzędnych można opisywać układ rozmaitymi równaniami. We wzorach (9.2) przyjęto układ współrzędnych, aby dla układu zlinearyzowanego w punkcie osobliwym  $(0, 0, 0)$  płaszczyzna  $z = 0$  była rozmaitością niestabilną, a oś  $x = y$ : rozmaitością stabilną (rys. 9.4b). Rozwiązania układu zlinearyzowanego w więc postać

$$x(\tau) = e^{a\tau} \cos(\tau), \quad y(\tau) = e^{a\tau} \sin(\tau), \quad z(\tau) = e^{-b\tau} \quad (9.3)$$

Ponadto unormowano skalę na osiach  $x, y$  i na osi czasu ( $\tau = \omega t$ ), co pozwoli zredukować liczbę parametrów do dwóch.



Rys. 9.4. a) Blokowy schemat generatora; b) trajektorie układu zlinearyzowanego w otoczeniu początku układu współrzędnych

Sygnał wyjściowy generatora  $u(t) = A_0[z(t) + 2x(t)]$ , w unormowanej skali czasu ( $\tau = \omega t$ ) i napięcia, spełnia równanie różniczkowe trzeciego rzędu

$$\frac{d^3 u}{d\tau^3} + c_2 \frac{d^2 u}{d\tau^2} + c_1 \frac{du}{d\tau} + c_0 u - u^2 = 0 \quad (9.4)$$

gdzie:  $c_2 = b - 2a$ ,  $c_1 = 1 - 2ab + a^2$ ,  $c_0 = b(1 + a^2)$ ,  $A_0 = [1 + (a + b)^2]$ .

Dynamika układu opisanego równaniami (9.2) zależy od dwóch dodatkowych parametrów  $a$  i  $b$ . Dla szerokiego zakresu parametrów (np. dla  $0,2 < b < 0,8$  i  $a < 0,08$ ) układ równań (9.2) ma stabilne okresowe rozwiązanie, którego zamknięta trajektoria  $\{x(\tau), y(\tau), z(\tau)\}$  jeden raz otacza oś  $z$ . Oczywiście: kształt trajektorii i długość okresu  $T$  zależą od parametrów  $a$  i  $b$ . Jeśli  $b > 0,38$ , i przy wzroście parametru  $a$  obserwuje się zjawisko kolejnego podwajania długości okresu tak jak w kaskadzie Feigenbauma (trajektoria okresowa otaczająca oś  $z$  odpowiednio 2, 4, 8, 16, ...-krotnie w ciągu jednego okresu). Przy dalszym wzroście parametru  $a$  trajektoria okresowa zamienia się w chaotyczną i powstaje dziwny atraktor, np. taki jak pokazano na rys. 9.5. Jest to rysunek trajektorii „w stanie ustalonym” w perspektywie trójwymiarowej.